## Цифровой логики метод (ч.3)

На основании **начертания** алфавита цифровых знаков **в коде A** (рис.14г) при использовании цифрового формата с видом матрицы 3х3, составляем таблицу истинности 8-позиционного кода A (Y1-Y8) в виде построчной ее записи комбинациями цифр десятичного кода (рис.14в). На основании **эквивалентной** таблицы истинности двоично-десятичного кода 8-4-2-1 (рис.14б) и **эквивалентной** таблицы истинности 8-ипозиционного кода A (рис.14в), представленные комбинациями цифр десятичного кода, построена структурная схема преобразователя двоично-десятичного кода 8-4-2-1 в 8-ипозиционный код A (рис.14а).

4. Построение минимизированной структурной схемы преобразователя двоично-

десятичного кода 8-4-2двоичный 8ипозиционный код У. предназначенной управления элементами матричного формата индикатора с видом матрицы 3х3 (рис.15а). Управление элементами цифрового формата, при котором начертание символа (цифрового знака) функционально связано величиной числа, осуществляется 4-позиционным кодом У.

При формировании цифровых знаков 2, 3, 4, 5 (6, 7. 8. начертание знака, отображающего большую величину 3, 4, 5 (7, 8, 9), повернуто по часовой стрелке на угол кратный 900 ПО отношению начертанию знака (2 и соответственно), отображающего меньшую величину.

Начертания цифровых знаков матричного исполнения подобно начертанию знаков на основе 4-хсегментного формата (рис.13б).

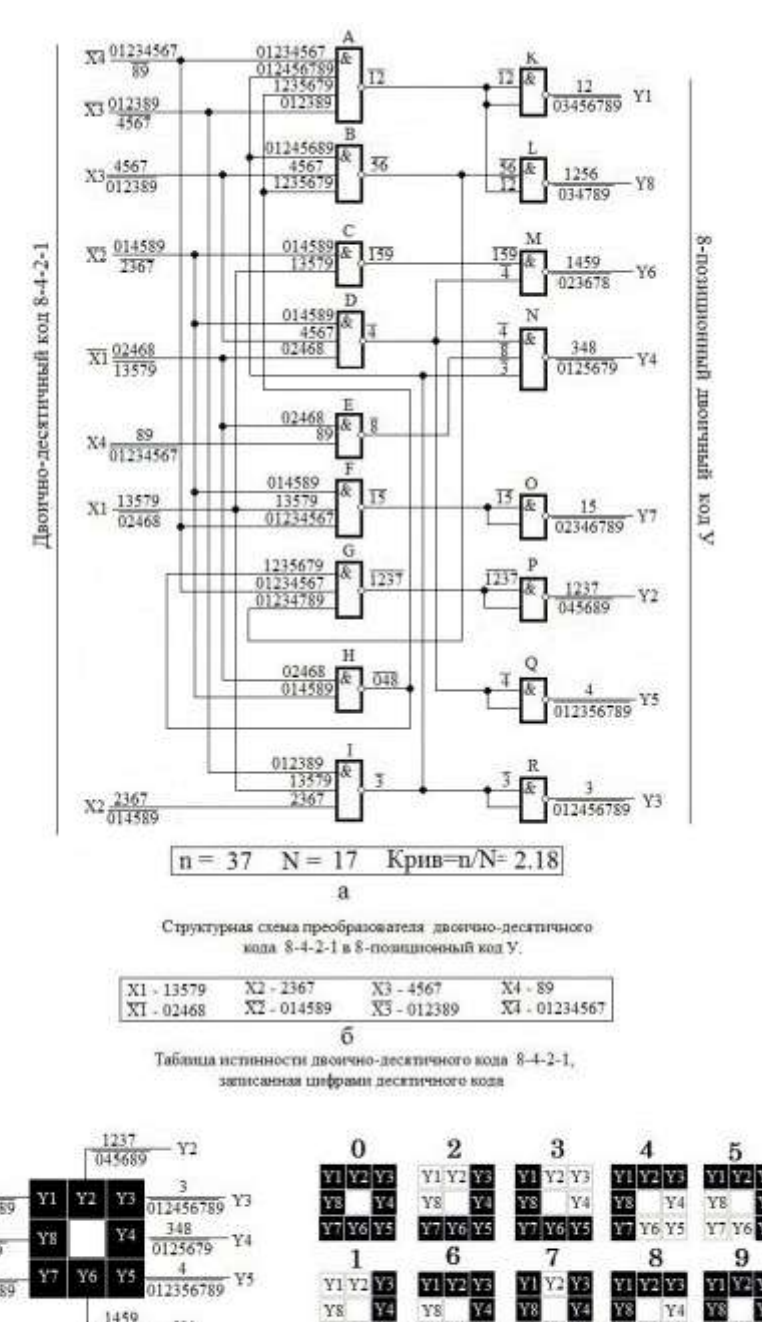


Рис.15

Формат матричного индикатора с видом матрицы 3x3 (в) и цифровые знаки в коде Y на его основе (г).

В

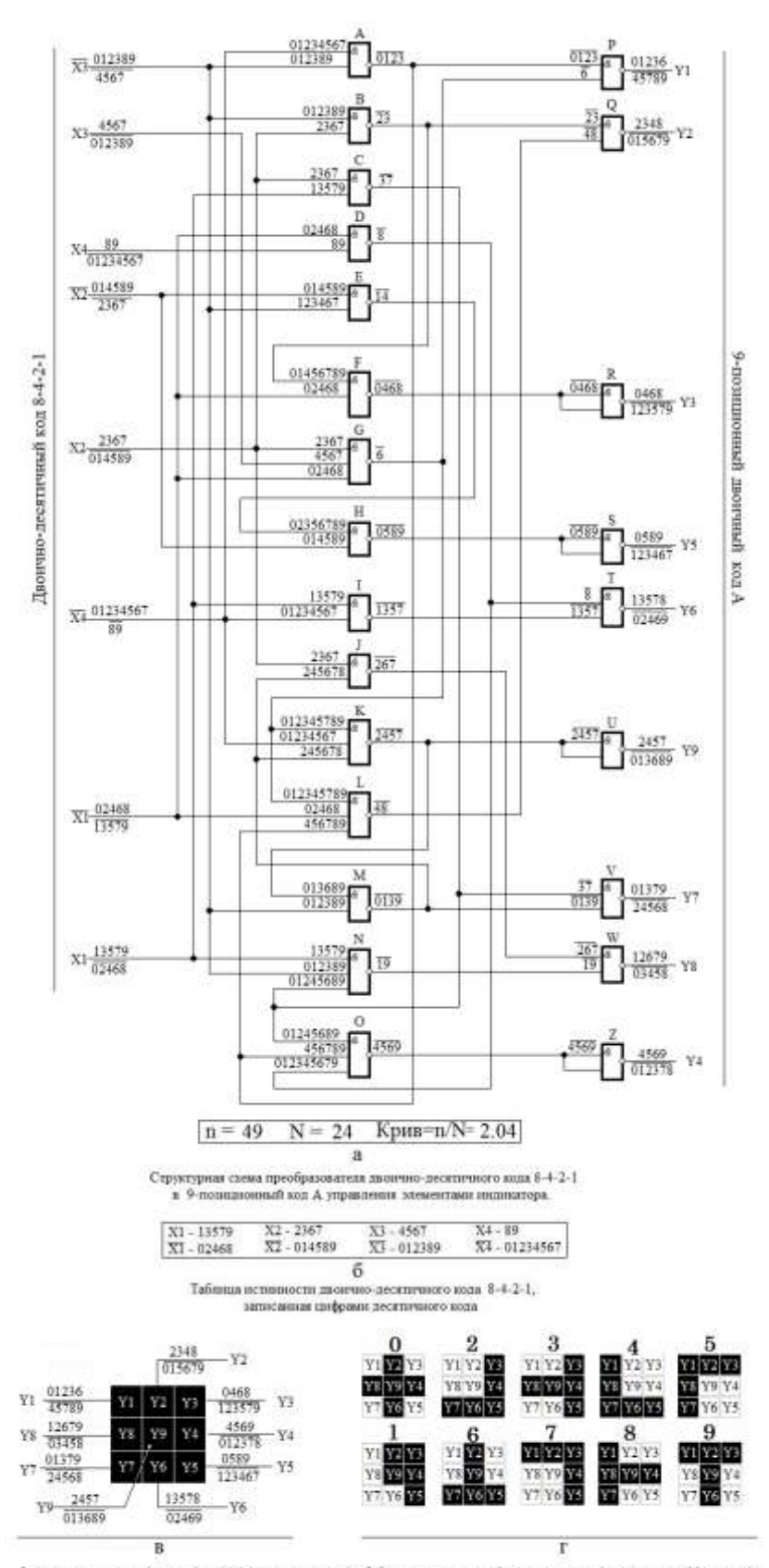
На основании начертания алфавита цифровых знаков в коде У (рис.15г) при

использовании цифрового формата с видом матрицы 3х3, составляем таблицу 8-позиционного истинности кода У (Y1-Y8)В виде построчной ee записи комбинациями цифр десятичного кода (рис.15в).

Ha основании эквивалентной таблины двоичноистинности десятичного 8-4-2-1 кода (рис.15б) эквивалентной таблины истинности У ипозиционного кода (рис.15в), представленные комбинациями цифр десятичного кода, построена структурная схема преобразователя двоичнодесятичного кода 8-4-2-1 в 8ипозиционный код (рис.15а).

Построение 5. минимизированной структурной схемы преобразователя двоичнодесятичного кода 8-4-2-1 двоичный 9-ипозиционный код А /10/, предназначенной для управления элементами матричного формата индикатора с видом матрицы 3х3 (рис.16а).

Наименьшее число (точечных), позиционных элементов используемых формате индикатора сравнении c наименьшим форматом с видом матрицы формировании 3x5 при цифровых знаков арабского происхождения) при формировании цифровых знаков позволяет осуществить индикацию как динамическом режиме управления матричным индикатором, так И



9-ипозиционный цифровой формат (в) с видом матрищы 3х3 и: на его основе сформированы цифровые знави (т) в воде А с постоянным числом точечных элементов в них.

Рис.16

X4 01234567

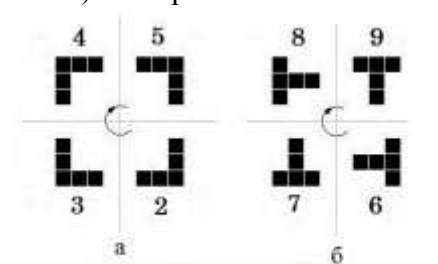
статическом режиме, при раздельной схеме включения позиционных элементов его.

На основании начертания алфавита цифровых знаков в коде А (рис.16г) при использовании цифрового формата c видом матрицы 3х3, составляем таблицу истинности 9-позиционного кода А (Ү1-Ү9) в виде построчной ее комбинациями записи цифр десятичного кода (рис.16в).

Ha основании эквивалентной таблицы истинности двоично-десятичного 8-4-2-1 (рис.16б) кода эквивалентной таблицы истинности 9-ипозиционного кода (рис.16в), представленные комбинациями цифр десятичного кода, построена структурная схема преобразователя двоичнодесятичного кода 8-4-2-1 в 9ипозиционный код А (рис.16а).

6. Построение минимизированной структурной схемы преобразователя двоичнодесятичного кода 8-4-2-1 в двоичный 9-ипозиционный код У/10/, предназначенной для управления элементами матричного формата индикатора с видом матрицы 3х3 (рис.17а).

На основании **начертания** алфавита цифровых знаков **в коде** У (рис.17г) при использовании

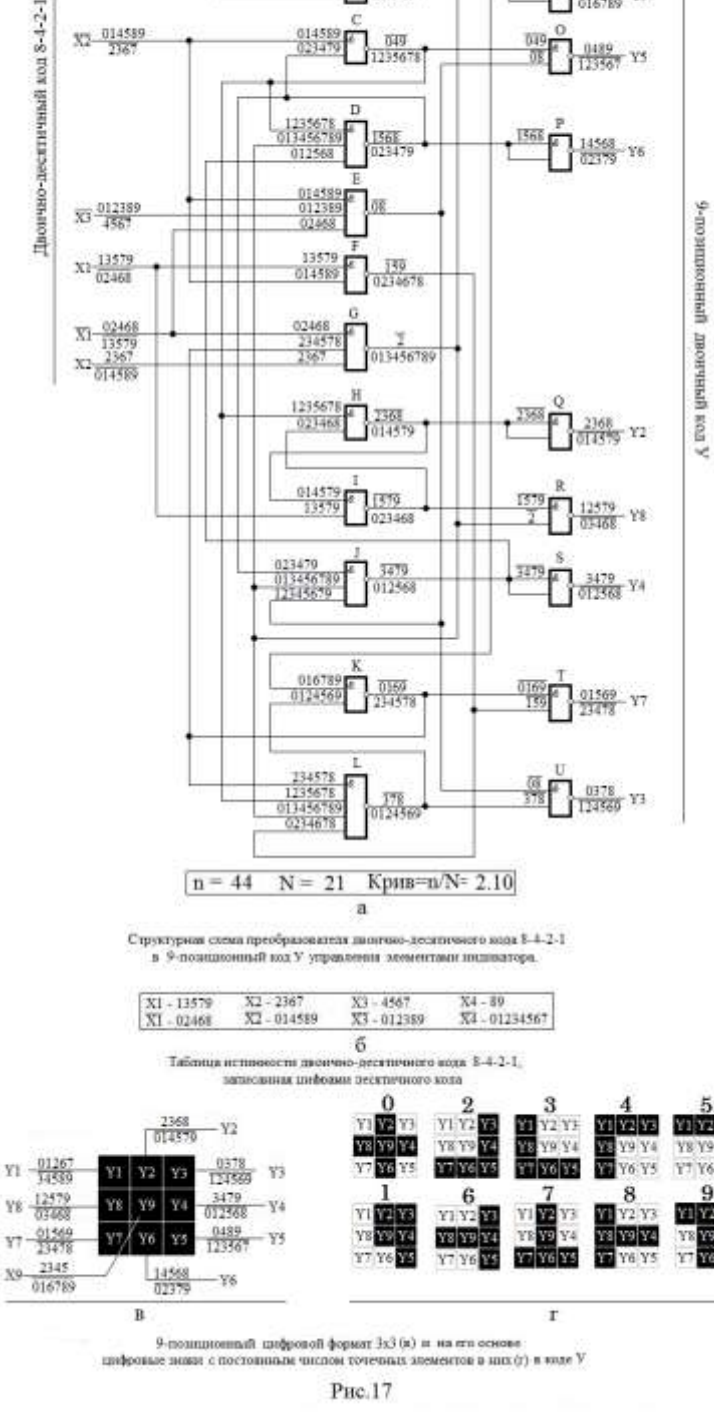


Начертания цифровых знаков в коле У с постоянным числом очечных элементов в них на основе формата с видом матрицы 3х3

Цифровой знак	2	3	4	5	6	7	8	9
Число точ-жем.	5	5	5	5	5	5	5	5
Угол поворота	00	900	180°	270°	00	900	180°	270°
Вештина чиска	2	2+1	2+2	2+3	5	5+1	5+2	5+3

Таблица изменения величины числа, от угла поворота начертания его, кратного 90 градусов.

Рис. 18

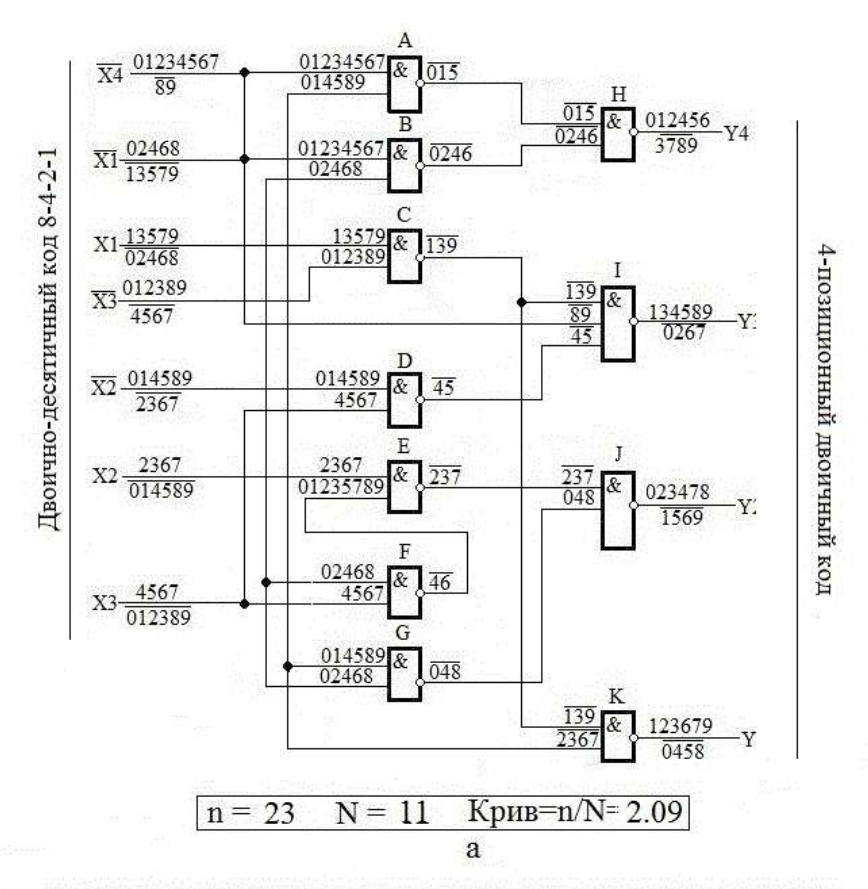


цифрового формата с видом матрицы 3х3, составляем таблицу истинности 9-позиционного кода У (Y1-Y9) в виде построчной ее записи комбинациями цифр десятичного кода (рис.17в). На основании эквивалентной таблицы истинности двоично-десятичного кода 8-4-2-1 (рис.17б) и эквивалентной таблицы истинности 9-ипозиционного кода У

(рис.17в), представленные комбинациями цифр десятичного кода, построена структурная схема преобразователя двоично-десятичного кода 8-4-2-1 в 9-ипозиционный код У (рис.17а). Начертание цифровых знаков с постоянным числом точеных элементов в них на базе матричного индикатора с видом матрицы 3х3 подчинено правилу:

чем больше величина числа в группе цифровых знаков 2-5 (или 6-9), тем на больший угол, кратный  $90^0$ , повернуто по часовой стрелке это начертание по отношению к начертанию знака наименьшего по величине числа (2 или 6) в группе (рис. 186, в г).

7. Построение минимизированной структурной схемы преобразователя двоичнодесятичного кода 8-4-2-1 в двоичный 4-хпозиционный код /11/, предназначенной для управления цифровым форматом индикатора (рис.19в), элементы которого ориентированы в плоскости расположения его (рис.19а).



Структурная схема преобразователя кода 8-4-2-1 в 4-хпозиционный код управления элементами, ориентированными в плоскости формата индикатора.

X1 - 13579	X2 - 2367	X3 - 4567	X4 - 89
X1 - 02468	$\overline{X2}$ - 014589	$\overline{X3}$ - 012389	$\overline{X4}$ - 01234567

Таблица истинности двоично-десятичного кода 8-4-2-1, записанная цифрами десятичного кода



Рис.19

На основании **начертания** алфавита цифровых знаков (рис.19г) при использовании цифрового формата, составляем таблицу истинности 4-позиционного кода (Y1-Y4) в виде построчной ее записи комбинациями цифр десятичного кода (рис.19в).

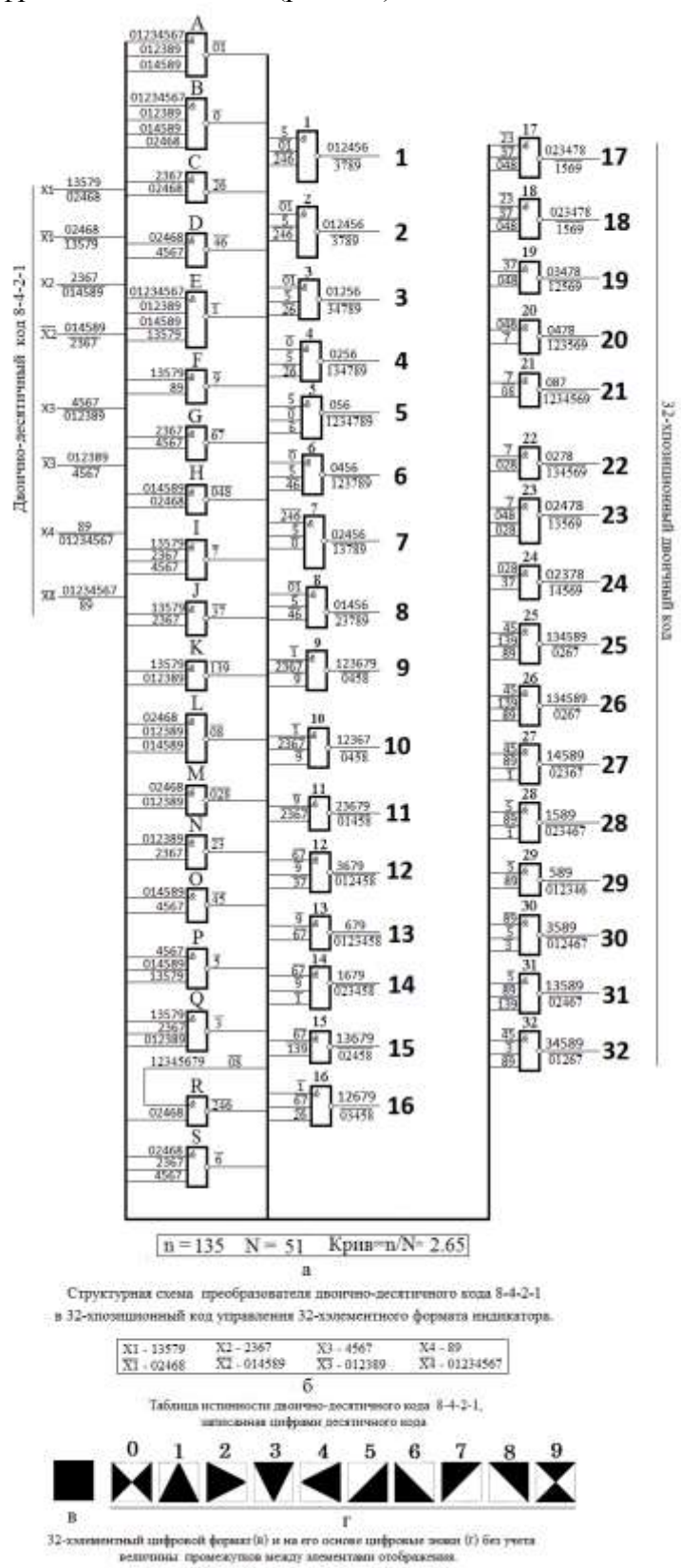
На основании эквивалентной таблицы истинности двоично-десятичного кода 8-4-2-1 (рис.19б) и эквивалентной таблицы истинности 4-хпозиционного кода (рис.19в), представленные комбинациями цифр десятичного кода, построена структурная схема преобразователя двоично-десятичного кода 8-4-2-1 в 4-ипозиционный код (рис.19а).

- Построение минимизированной структурной схемы преобразователя двоичнокода 8-4-2-1 лесятичного двоичный 32-хпозиционный код на цифровых знаков (рис.20а), предназначенной для управления 32хэлемнтным цифровым форматом /12/ индикатора (рис.21).
- цифрового 32 элемента формата, представленного в виде квадрата (рис.21), образованы пересечения результате линий, проведенных ИЗ УГЛОВ его серединам смежных, противоположных ЭТИМ углам, сторонам квадрата, с линиями его диагоналей.

Из 32-х элементов отображения в ограниченной сторонами квадрата плоскости можно сформировать фигуры, представляющих цифровые знаки (рис.22).

Причем, площадь фигуры из высветившихся элементов отображения равна площади фигуры высветившихся элементов отображения /12/. И чем меньше толщина линий разделяющих элементы отображения (рис.21), тем лучше восприятие знака (рис.22, рси. 20г), тем меньший габаритный размер формата индикатора может быть получен (рис.20в).

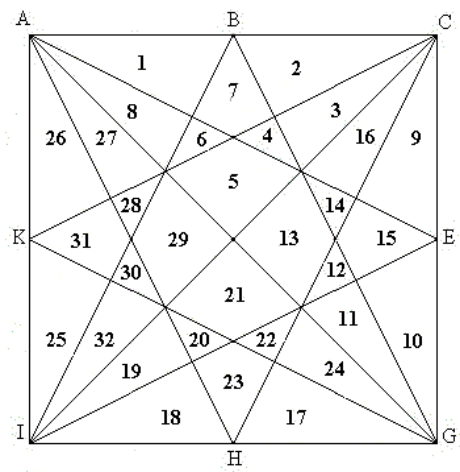
На основании начертания



Puc.20

алфавита цифровых знаков (рис.22), или то же самое, по высвечиванию и погашению элементов отображения при формировании цифровых знаков (рис.21, рис.22) составляем таблицу истинности 32-хпозиционного кода управления элементами формата индикатора (рис. 23в). На основании эквивалентной таблицы истинности двоично-десятичного кода 8-4-2-1, записанной цифрами десятичного кода (рис.6г) и эквивалентной таблицы истинности 32-хпозиционного кода (рис.23а, б, в) построена структурная схема преобразователя двоично-десятичного кода 8-4-2-1 в 32-хпозиционный код (рис.21а).

Погашение (уровень логической единицы «1») и высвечивание (уровень логического нуля «0») элементов (1-32) формата индикатора (рис.21, рис.22) осуществляется в соответствии с сигналом на выходном выводе одноименного логического элемента И-НЕ (1-32) при формировании тех цифровых знаков (0-9), которые указаны на выходном выводе логического элемента И-НЕ(1-32).



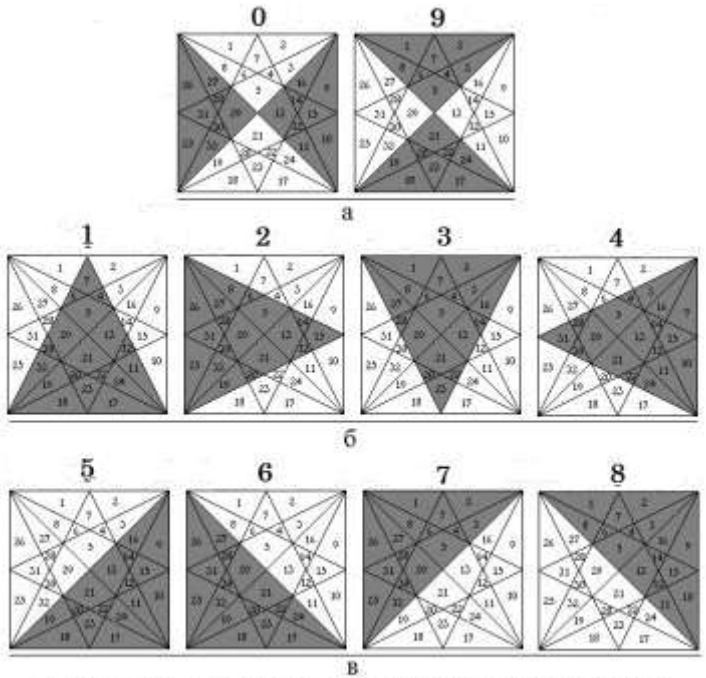
32-хэлементный формат, на основе которого формируются цифровые знаки.

Рис.21

Например (рис.21а), на выходном выводе 1 логического элемента И-НЕ(1) устанавливаются сигналы с уровнем логической единицы «1» (без черточки сверху над комбинацией цифр 012456) и с уровнем логического нуля «0» (с черточкой сверху над комбинацией цифр 3789). Это означает, что при формировании цифровых знаков 012456 одноименный элемент 1 цифрового формата погашается, а при формировании цифровых знаков 3789 одноименный элемент 1 цифрового формата высвечивается.

Наибольшее число (n=32) позиционных элементов на знак при формировании цифровых знаков не ограничивает:

- а. уменьшение габаритного размера формата индикатора;
  - б. уменьшение расходов на потребление энергии.



Цифровые знаки от 0 до 9 (а, б, в) на основе 32-хэлементного цифрового формата.

Рис.22

1 - 012456	<b>5</b> -056	<b>9</b> - 123679	<b>13</b> - 679
2 - 012456	<b>6</b> -0456	<b>10</b> -123679	<b>14</b> - 1679
3 - 01256	<b>7</b> -02456	<b>11</b> - 23679	<b>15</b> - 13679
4 - 0256	<b>8</b> -01456	<b>12</b> - 3679	<b>16</b> - 12679
<b>17</b> - 023478	21 - 078	25 - 134589	29 - 589
<b>18</b> - 023478	22 - 0278	26 - 134589	30 - 3589
<b>19</b> - 03478	23 - 02478	27 - 14589	31 - 13589
<b>20</b> - 0478	24 - 02378	28 - 1589	32 - 34589

Построчная цифровая запись сигналов 32-хпозиционного кода с уровнем логической "1".

a

1 - 3789	<b>5</b> - 1234789	9 - 0458	<b>13</b> - 0123458
2 - 3789	<b>6</b> - 123789	10 - 0458	<b>14</b> - 023458
3 - 34789	<b>7</b> - 13789	11 - 01458	<b>15</b> - 02458
4 - 134789	<b>8</b> - 23789	12 - 012458	<b>16</b> - 03458
17 - 1569	21 - 1234569	<b>25</b> - <del>0267</del>	29 - 0123467
18 - 1569	22 - 134569	<b>26</b> - <del>0267</del>	30 - 012467
19 - 12569	23 - 13569	<b>27</b> - <del>02367</del>	31 - 02467
20 - 123569	24 - 14569	<b>28</b> - <del>023467</del>	32 - 01267

Построчнаяя цифровая запись сигналов 32-хпозиционного кода с уровнем логического "0".

б



Таблица истинности 32-хпозиционного кода управления 32-я элементами цифрового формата.

В

Рис.23

Наименьший габаритный размер 32-хэлементного формата (в сравнении с другими цифровыми форматами), индикатора обусловлен наилучшим восприятием знаков, вследствие их начертания /12/.

На основании **эквивалентной** таблицы истинности двоично-десятичного кода 8-4-2-1 (рис.20б) и **эквивалентной** таблицы истинности 32-хпозиционного кода (рис.23в), представленные комбинациями цифр десятичного кода (рис.23 а, б), построена структурная схема преобразователя двоично-десятичного кода 8-4-2-1 в 32-хпозиционный код (рис.20а).

9. Построение минимизированной структурной схемы многофункционального /9/ преобразователя двоично-десятичного кода 8-4-2-1 (рис.24а):

в двоичный 7-позиционный код управления 7-сегментным форматом индикатора HG1;

- в 4-хпозиционный код управления 4-хсегментным форматом из нижних элементов 7-сегментного формата индикатора HG1;
- в 4-хпозиционный код управления 6-исегментным форматом (без управления среднего горизонтального сегмента) 7-сегментного индикатора HG1.

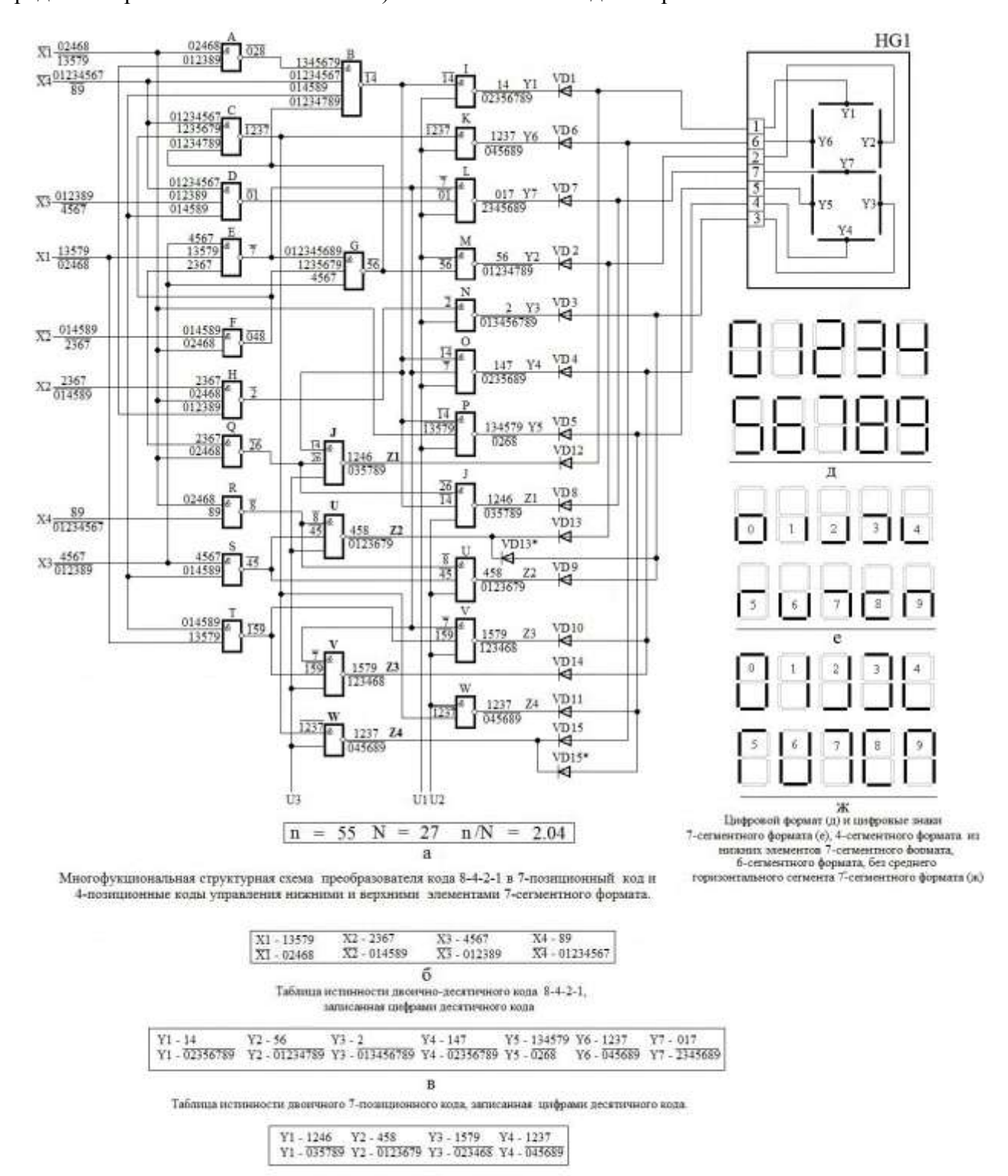


Рис.24

Таблица истиниости 4-хпозиционного вода для управления элементаки 4-сегментного и 6-сегментного формахов 7-сегментного индивахора.

На основании построчной записи двоично-десятичного кода 8-4-2-1 (рис.24б),

построчной записи 7-позиционого кода (рис.24в), построчной записи 4-позиционного кода (рис.24г), при управлении 4-сегментным форматом из нижних элементов 7-сегментного формата и 6-сегментным форматом (без среднего горизонтального сегмента 7-сегментного формата), выполним построение многофункциональной структурной схемы преобразователя кода.

При формировании цифровых знаков (рис.24д) на основе 7-сегментного формата (HG1) разрешающий сигнал U1 (рис.24а) с уровнем логической единицы «1» поступает на входные выводы логических элементов И-НЕ (I, K, L, M, N, O, P), на выходных выводах которых формируются сигналы управления элементами семисегментного формата индикатора HG1 (рис.24г).

Запрещающие сигналы U2 и U3 с уровнем логического нуля «0» поступает на входные выводы логических элементов И-HE (J, U, V, W) и И-HE (J, U, V, W), на выходных выводах которых устанавливается постоянный уровень логической единицы «1». Постоянный уровень логической единицы «1» не оказывает влияние на управление 7-сегментным форматом индикатора.

При формировании цифровых знаков (рис.24e) на основе 4-сегментного формата из нижних элементов 7-сегментного формата (HG1), разрешающий сигнал U2 (рис.24a) с уровнем логической единицы «1» поступает на входные выводы логических элементов И-НЕ (J, U, V, W), на выходных выводах которых формируются сигналы управления четырех нижних элементов 7-сегментного индикатора. Запрещающие сигналы U1 и U3 с уровнем логического нуля «0» поступает на входные выводы логических И-НЕ (I, K, L, M, N, O, P) и И-НЕ (J, U, V, W), на выходных выводах которых устанавливается постоянный уровень логической единицы «1». Постоянный уровень логической единицы «1» не оказывает влияние на управление 4-сегментным форматом из нижних элементов 7-сегментного индикатора.

При формировании цифровых знаков (рис.24ж) на базе 6-сегментного формата из элементов (рис.27ж) 7-сегментного индикатора (HG1) разрешающий сигнал U3 (рис.24а) с уровнем логической единицы «1» поступает на входные выводы логических элементов И-НЕ (J, U, V, W) на выходных выводах которых формируются сигналы управления 6-сегментного формата 7-сегментного индикатора. Запрещающие сигналы U1 и U2 с уровнем логического нуля «0» поступает на входные выводы логических И-НЕ (I, K, L, M, N, O, P) и И-НЕ (J, U, V, W), на выходных выводах которых устанавливается постоянный уровень логической «1». Постоянный уровень логической единицы «1» не оказывает влияние на управление 6-сегментным форматом 7-сегментного индикатора.

Формирование цифровых знаков с увеличенным эффективным угловым размером их /7/ на основе 7-сегментного формата осуществляется без среднего горизонтального сегмента, а вертикальные сегменты с каждой из сторон цифрового формата управляются одним сигналом (4-хпозиционное управление 6-сегментным форматом). На базе структурной схемы многофункционального /9/ преобразователя кода построены электронные часы с переключением энергосберегающих режимов /13/ (рис.243).



Электронные часы с переключением режимов Рис. 243